



Raport

z badań poziomu natężenia pola elektrycznego
w otoczeniu stacji bazowej:

WRO1320

na podstawie sprawozdania P4/13/2022 udostępnionego przez A-CONNECT Anna Garwol-Porosa

Laboratorium prowadzące badania

A-CONNECT Anna Garwol-Porosa
Strażacka 3/2
58-370 Boguszów-Gorce
692 692 875

Zleceniodawca badań

P4 Sp. z o.o.

02-677 Warszawa
790 500 500
kontakt@play.pl

Nr akredytacji: AB 1284

Data wydania sprawozdania: 07.02.2022

Raport zawiera wybrane elementy sprawozdania i służy wyłącznie obrazowemu przedstawieniu informacji o danej instalacji. Raport nie może być wykorzystywany w postępowaniach administracyjnych.

Informacje ogólne

Zgodność z metodyką RMK: Tak

Ograniczenia: Na podstawie art. 122a ust. 1b ustawy Prawo ochrony środowiska (t.j. Dz.U. z 2020 r., poz. 1219, 1378, 1565, 2127, 2338, z 2021 r. poz. 802, 868, 1047, 1162, 1535.), pomiary PEM w lokalach mieszkalnych i użytkowych zlokalizowanych w obszarze pomiarowym badanej stacji bazowej nie zostały przeprowadzone.

Wykorzystanie w obszarze regulowanym: Tak

Przedmiot badań

Identyfikator stacji w UKE	WRO1320
Operator	P4 Sp. z o.o.
Współrzędne	17,0259749; 51,0989500
Rodzaj pracy	ciągła
Rodzaj wytwarzanego pola	stacjonarne

Miejsce badań

Otoczenie stacji bazowej WRO1320 w lokalizacji Wrocław-Krzyki, Powstańców Śląskich 7.

Cel badań

1. Zweryfikowanie zgodności z wymaganiami rozporządzenia Ministra Zdrowia z dnia 19 grudnia 2019 r.

Opis stacji bazowych

Tabela 1: Opis anten badanych stacji bazowych

Lp.	Identyfikator stacji w UKE	Typ Producent anteny	Azymut	H	EIRP	Pasmo	Tilt	Tilt w trakcie pomiarów
			[°]	[m]	[W]	[MHz]	[°]	[°]
1	WRO1320	ATR4518R13v06 Huawei	0	51,10	12644*	LTE 800 LTE 2600 LTE 2600	0,0 - 4,3 0,0 - 4,3 0,0 - 4,3	2,2 2,2 2,2
2		ATR4518R13v06 Huawei	0	51,10	19926*	UMTS 900 LTE 1800 LTE 2100 LTE 1800 LTE 2100	0,0 - 4,3 0,0 - 4,3 0,0 - 4,3 0,0 - 4,3 0,0 - 4,3	2,2 2,2 2,2 2,2 2,2
3		ATR4518R13v06 Huawei	130	51,10	12644*	LTE 800 LTE 2600 LTE 2600	0,0 - 6,2 0,0 - 6,2 0,0 - 6,2	3,1 3,1 3,1
4		ATR4518R13v06 Huawei	130	51,10	19926*	UMTS 900 LTE 1800 LTE 2100 LTE 2100 LTE 1800	0,0 - 6,2 0,0 - 6,2 0,0 - 6,2 0,0 - 6,2 0,0 - 6,2	3,1 3,1 3,1 3,1 3,1
5		ATR4518R13v06 Huawei	260	51,10	12644*	LTE 800 LTE 2600 LTE 2600	0,0 - 2,6 0,0 - 2,6 0,0 - 2,6	1,3 1,3 1,3
6		ATR4518R13v06 Huawei	260	51,10	19926*	UMTS 900 LTE 1800 LTE 2100 LTE 2100 LTE 1800	0,0 - 2,6 0,0 - 2,6 0,0 - 2,6 0,0 - 2,6 0,0 - 2,6	1,3 1,3 1,3 1,3 1,3

* moc EIRP łączna dla wszystkich częstotliwości anteny

Warunki pomiarów

Pomiary w wyznaczonych punktach wykonano w następujących warunkach:

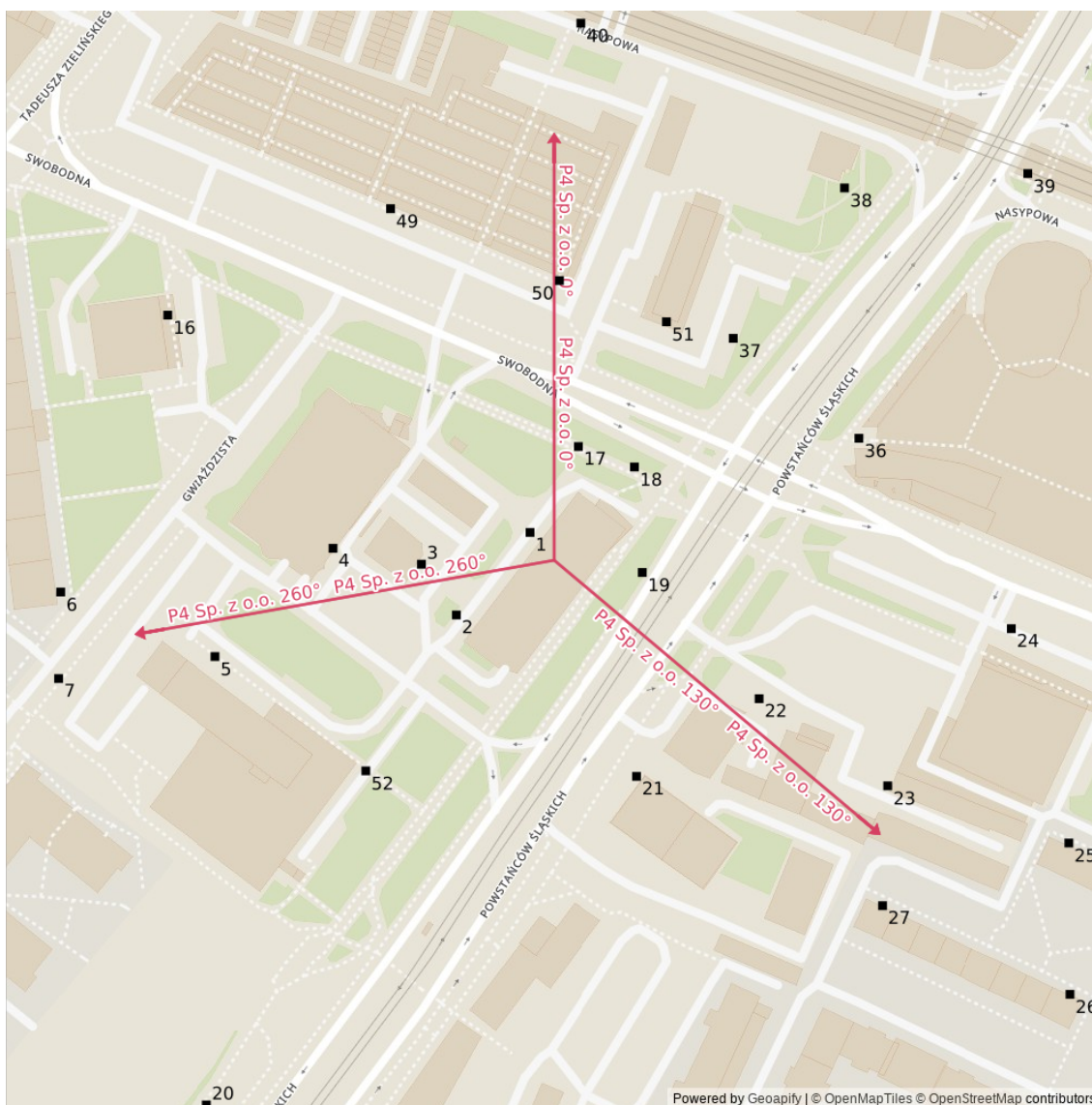
04.02.2022 13:00-15:15			
Warunki środowiskowe	Temperatura [°C]	Wilgotność [%]	Opady
Minimalna	7,4	71,9	brak
Maksymalna	7,5	73,6	

Aparatura

Tabela 2: Aparatura

MIERNIKI I SONDY					
Lp.	Typ / Nazwa	Model	Producent	Próg detekcji	Świadectwo wzorcowania
1a	miernik	NBM-520	Narda		LWiMP/W/018/22 z dn. 19.01.2022 wydane przez LWiMP Politechniki Wrocławskiej
1b	sonda	EF6091	Narda	0,50	
POZOSTAŁE					
Lp.	Typ / Nazwa	Model	Producent	Świadectwo wzorcowania	
2	termohigrometr	H560	DOSTMANN	73708/2021 z dn. 16.04.2021 wydane przez LAB-EL ELEKTRONIKA LABORATORYJNA ANDRZEJ ŁOBZOWSKI, MARIA ŁOBZOWSKA SP. J.	

Lokalizacje pionów pomiarowych



Rysunek 1: Plan terenu

Dodatkowe informacje o punktach

punkt 25: Okno korytarza - III/IV p., ul. Komandorska 27

punkt 26: Okno korytarza - III/IV p., ul. Komandorska 37

punkt 27: Okno korytarza - II/III p., ul. Komandorska 51

punkt 29: Okno korytarza - III/IV p., ul. Skwerowa 12

punkt 30: Okno korytarza - II/III p., ul. Skwerowa 2

punkt 32: Okno korytarza - III/IV p., ul. Ślężna 11

Wyniki pomiarów szerokopasmowych

Tabela 3: Zestawienie lokalizacji pionów pomiarowych oraz wyników pomiarów natężenia pola elektrycznego, pomiary szerokopasmowe

Nazwa	Data	Współrzędne geograficzne	E	WM _E	H	WM _H
		[°]	[$\frac{V}{m}$]		[$\frac{A}{m}$]	
1	04.02.2022	17,0258490 51,0990410	9,85	0,352	0,026	0,358
2	04.02.2022	17,0254650 51,0987710	7,55	0,270	0,020	0,274
3	04.02.2022	17,0252830 51,0989370	7,13	0,255	0,019	0,259
4	04.02.2022	17,0248220 51,0989890	7,76	0,277	0,021	0,282
5	04.02.2022	17,0242070 51,0986350	6,50	0,232	0,017	0,236
6	04.02.2022	17,0234030 51,0988460	6,29	0,225	0,017	0,229
7	04.02.2022	17,0233920 51,0985630	6,92	0,247	0,018	0,251
8	04.02.2022	17,0219220 51,0983810	2,73	0,098	0,007	0,099
9	04.02.2022	17,0218850 51,0975720	2,31	0,083	0,006	0,084
10	04.02.2022	17,0206830 51,0966290	1,26	0,045	0,003	0,046
11	04.02.2022	17,0186660 51,0980910	< 1,05	< 0,038	< 0,003	< 0,038
12	04.02.2022	17,0196850 51,0982210	1,89	0,068	0,005	0,069
13	04.02.2022	17,0208360 51,0983500	1,89	0,068	0,005	0,069
14	04.02.2022	17,0218690 51,0993310	4,82	0,172	0,013	0,175
15	04.02.2022	17,0201790 51,0998700	2,93	0,105	0,008	0,106
16	04.02.2022	17,0239610 51,0997520	8,38	0,299	0,022	0,305
17	04.02.2022	17,0261010 51,0993220	8,38	0,299	0,022	0,305
18	04.02.2022	17,0263930 51,0992550	7,76	0,277	0,021	0,282
19	04.02.2022	17,0264340 51,0989100	4,40	0,157	0,012	0,160
20	04.02.2022	17,0241620 51,0971680	3,35	0,120	0,009	0,122
21	04.02.2022	17,0264040 51,0982430	4,82	0,172	0,013	0,175
22	04.02.2022	17,0270430 51,0984970	6,50	0,232	0,017	0,236

Ciąg dalszy na następnej stronie

Tabela 3: Zestawienie lokalizacji pionów pomiarowych oraz wyników pomiarów natężenia pola elektrycznego, pomiary szerokopasmowe (c.d.)

Nazwa	Data	Współrzędne geograficzne	E	WM _E	H	WM _H
		[°]	[$\frac{V}{m}$]		[$\frac{A}{m}$]	
23	04.02.2022	17,0277130 51,0982120	6,71	0,240	0,018	0,244
24	04.02.2022	17,0283570 51,0987260	5,87	0,210	0,016	0,213
25	04.02.2022	–	8,38	0,299	0,022	0,305
26	04.02.2022	–	8,80	0,314	0,023	0,320
27	04.02.2022	–	8,38	0,299	0,022	0,305
28	04.02.2022	17,0293920 51,0973850	6,50	0,232	0,017	0,236
29	04.02.2022	–	4,82	0,172	0,013	0,175
30	04.02.2022	–	4,19	0,150	0,011	0,152
31	04.02.2022	17,0318650 51,0962970	1,89	0,068	0,005	0,069
32	04.02.2022	–	1,68	0,060	0,004	0,061
33	04.02.2022	17,0284960 51,0964690	1,05	0,038	0,003	0,038
34	04.02.2022	17,0315110 51,0979170	3,56	0,127	0,009	0,129
35	04.02.2022	17,0302450 51,0985840	5,03	0,180	0,013	0,183
36	04.02.2022	17,0275630 51,0993490	9,01	0,322	0,024	0,327
37	04.02.2022	17,0269080 51,0996760	6,50	0,232	0,017	0,236
38	04.02.2022	17,0274880 51,1001680	3,35	0,120	0,009	0,122
39	04.02.2022	17,0284430 51,1002150	2,73	0,098	0,007	0,099
40	04.02.2022	17,0261140 51,1007070	4,40	0,157	0,012	0,160
41	04.02.2022	17,0261170 51,1009910	2,73	0,098	0,007	0,099
42	04.02.2022	17,0268330 51,1015620	5,24	0,187	0,014	0,190
43	04.02.2022	17,0277450 51,1027210	< 1,05	< 0,038	< 0,003	< 0,038
44	04.02.2022	17,0259590 51,1035970	4,61	0,165	0,012	0,168
45	04.02.2022	17,0258840 51,1023540	2,93	0,105	0,008	0,106
46	04.02.2022	17,0252620 51,1027550	3,98	0,142	0,011	0,145

Ciąg dalszy na następnej stronie

Tabela 3: Zestawienie lokalizacji pionów pomiarowych oraz wyników pomiarów natężenia pola elektrycznego, pomiary szerokopasmowe (c.d.)

Nazwa	Data	Współrzędne geograficzne	E	WM _E	H	WM _H
		[°]	[$\frac{V}{m}$]		[$\frac{A}{m}$]	
47	04.02.2022	17,0260290 51,1018450	1,47	0,053	0,004	0,053
48	04.02.2022	17,0241190 51,1011550	6,29	0,225	0,017	0,229
49	04.02.2022	17,0251220 51,1001000	8,18	0,292	0,022	0,297
50	04.02.2022	17,0260020 51,0998650	6,29	0,225	0,017	0,229
51	04.02.2022	17,0265600 51,0997300	7,97	0,285	0,021	0,290
52	04.02.2022	17,0249930 51,0982610	5,66	0,202	0,015	0,206

Podsumowanie

Na podstawie wyników pomiarów pola elektromagnetycznego przedstawionych w niniejszym raporcie o nr P4/13/2022 opracowanym przez A-CONNECT Anna Garwol-Porosa stwierdza się, że w otoczeniu stacji bazowej WRO1320 dopuszczalne poziomy pól elektromagnetycznych w środowisku, określone w przepisach wydanych na podstawie art. 122 ust. 1 ustawy z dnia 27 kwietnia 2001 r. – Prawo ochrony środowiska uznaje się za **dotrzymane**. Udokumentowano, że w żadnym pionie pomiarowym wartości wskaźnikowe WM_E oraz WM_H nie przekroczyły 1.

Osoby odpowiedzialne

Wykonanie pomiarów: b.d.

Opracowanie sprawozdania: b.d.

Autoryzacja sprawozdania: Łukasz Porosa (Kierownik ds. jakości)